

XXXVII IBERIAN LATIN AMERICAN CONGRESS
ON COMPUTATIONAL METHODS IN ENGINEERING
BRASÍLIA - DF - BRAZIL

ANÁLISE DINÂMICA DE PÓRTICOS PLANOS DE AÇO COM DIFERENTES TIPOS DE LIGAÇÃO BASE-PILAR

Everton A. P. Batelo

Ígor J. M. Lemes

Leticia R. B. Rosas

Andréa R. D. Silva

Ricardo A. M. Silveira

everton.batelo@gmail.com

igorjml@hotmail.com

eng.leticiarosas@gmail.com

andradiassilva@yahoo.com.br

ricardo@em.ufop.br

Programa de Pós Graduação em Engenharia Civil (Propec/Deciv/EM), Universidade Federal de Ouro Preto, Campus Universitário, Morro do Cruzeiro, 35400-000, Ouro Preto, MG, Brasil

Resumo: *Os pórticos de aço constituem um dos mais importantes sistemas construtivos empregados atualmente, sendo uma excelente solução para os mais variados tipos de edificações. Nas construções estruturadas em aço, a definição do tipo das conexões viga-pilar e base-pilar são de fundamental importância. Deste modo, para se obter uma previsão mais realista do comportamento das estruturas de aço, a flexibilidade dessas conexões entre os membros deve ser considerada nas análises. Assim, este trabalho tem como objetivo avaliar o comportamento de pórticos em aço sob cargas dinâmicas, analisando a influência das ligações semirrígidas viga-pilar e base-pilar na resposta da edificação, e ainda verificar a influencia do amortecimento histerético proporcionando por elas. As análises realizadas tem por base a modelagem do sistema estrutural via elementos finitos, onde o método Newmark e a estratégia iterativa de Newton-Raphson são utilizadas no processo de solução das equações dinâmicas não lineares no domínio do tempo.*

Palavras-chave: *Pórticos de aço, Ligação base-pilar, Análise dinâmica não linear, Ligação semirrígida,*

1 INTRODUÇÃO

Em geral as estruturas de aço são esbeltas, eficientes e de rápida montagem. Uma análise estrutural cuidadosa dessas estruturas é de fundamental importância, pois resulta em um projeto seguro e uma construção eficiente.

Nas construções estruturadas em aço, a escolha das ligações base-pilar ou viga-pilar é de fundamental importância. É de suma importância então que engenheiros e projetistas tenham uma boa compreensão a cerca do comportamento dessas ligações. Por essa razão, diversos estudos estão sendo desenvolvidos e as novas normas (NBR 8800, 2008; AISC, 2010; Eurocode, 2005) já incluem procedimentos para inclusão da rigidez das ligações em análises computacionais e projetos de estruturas de aço.

As ligações base-pilar são responsáveis por transferir os carregamentos impostos ao sistema estrutural para a fundação da edificação, bem como, no caso de atividade sísmica, transferir as acelerações do solo devido ao terremoto para a superestrutura.

Nas estruturas de aço, as ligações de base-pilar são tradicionalmente rotuladas ou engastadas. A base rotulada ideal assemelha-se a uma rótula perfeita e possui grandes dificuldades de fabricação, por isso é pouco utilizada. A forma mais comum para se aproximar o comportamento de uma base rotulada é através do emprego uma placa soldada à extremidade inferior do pilar e colocação de chumbadores posicionados o mais próximo possível de seu eixo de interesse (Fig. 1a). Esse tipo de base torna menor o custo da fundação, uma vez que ocorre menor transferência de esforços para a fundação.

Normalmente, as bases engastadas propiciam estruturas mais econômicas e fundações mais onerosas que as rotuladas. Esse tipo de base tem a capacidade de resistir, além das forças verticais, aos momentos fletores. Na Figura 1b tem-se a base engastada mais comumente utilizada, que consiste também em uma placa soldada à extremidade inferior do pilar, mas agora com os chumbadores afastados da linha de centro, com objetivo de formar um braço de alavanca.

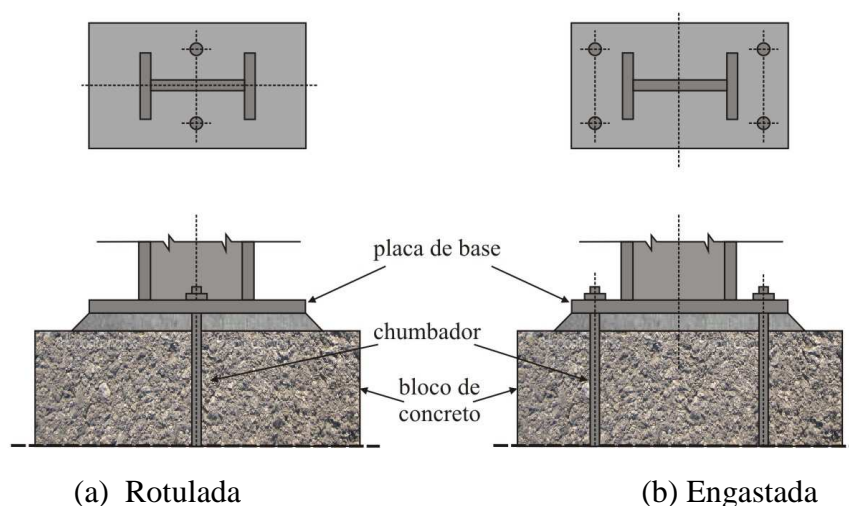


Figura 1. Ligações base-pilar

Embora esse último sistema de ligação base-pilar tenha sido amplamente testado e utilizado em várias edificações, conhecimentos e alterações de detalhes da conexão,

tornando-se semirrígidas, podem afetar o desempenho estrutural, principalmente sob o efeito de ações dinâmicas. Alguns pesquisadores investigaram numericamente o comportamento de estruturas de aço com ligações semirrígidas submetidas às ações dinâmicas: Chan e Ho (1994); Lui e Lopes (1997); Xu e Zhang (2001); Sophianopoulos (2003); Galvão *et al.* (2010); Vimonsatit *et al.* (2012); Nguyen (2010); Nguyen e Kim (2011); Valipour e Bradford (2012); Attarnejad e Pirmoz (2014); e Aristizabal-Ochoa (2015).

As respostas cíclicas de ligações semirrígidas também têm sido investigada experimentalmente. Nessa linha, merecem destaque, os trabalhos de Bernuzzi *et al.* (1996), Calado (2003) e Shi *et al.* (2007), onde foram realizados testes com tipos específicos de ligações e modelos matemáticos foram propostos para representar o comportamento resultante.

Este trabalho considera os efeitos não lineares geométricos e as ligações semirrígidas viga-pilar e base-pilar. O sistema computacional para análise estrutural avançada CS-ASA (Silva, 2009; Batelo, 2014) foi utilizado neste trabalho. Nas Seções 2 e 3 estão descritos o comportamento típico das ligações quando a estrutura está submetida a cargas estáticas e cíclicas, e a técnica adotada para simular este comportamento. Na Seção 4 pode ser encontrada a formulação desenvolvida para o elemento finito empregado na modelagem do sistema estrutural. Na Seção 5 tem-se a metodologia utilizada para obter a resposta transiente não linear do sistema estrutural. Finalmente, na Seção 6, um sistema estrutural é estudado e suas respostas são avaliadas.

2 LIGAÇÕES SEMIRRÍGIDAS

Na análise de estruturas com ligações semirrígidas, se faz necessário a modelagem do comportamento da conexão. A descrição desse comportamento é comumente realizada através de curvas momento-rotação, que são obtidas por ensaios experimentais ou através de simulação numérica em elementos finitos.

Três curvas momento-rotação de ligações semirrígidas são apresentadas na Fig. 2. Tem-se ainda na Fig.2 a variação da rotação ϕ_c , que corresponde à rotação entre os elementos interligados, com um momento aplicado. A rigidez da ligação, denotada neste trabalho por S_c , é uma característica de fundamental importância que é determinada através de ensaios experimentais. Matematicamente, ela representa a inclinação da reta tangente à curva momento-rotação (Fig. 2).

A intensidade de S_c , pode ser associada a algum parâmetro que relacione a rigidez da ligação com a rigidez do membro a ela interligado. Cunningham (1990) propôs a adoção do fator fixo de rigidez (*fixity factor*), $\gamma = (1 + 3EI/(S_cL))^{-1}$, com L sendo o comprimento do elemento. Os valores extremos que o fator fixo assume são 0 e 1. Para uma ligação perfeitamente rotulada, a rigidez da ligação é nula e, portanto, $\gamma = 0$, já para uma ligação idealmente rígida, o fator fixo γ tem valor 1, uma vez que a rigidez da ligação é extremamente elevada ($S_c \rightarrow \infty$).

A rigidez da conexão pode ser calculada da seguinte forma:

$$S_c = \frac{dM}{d\phi_c} \quad (1)$$

em que, M é o momento fletor atuante na conexão e ϕ_c é a deformação rotacional.

A incorporação das curvas momento-rotação, ou seja, a consideração das ligações semirrígidas, na análise estrutural proporciona resultados mais precisos que os obtidos através da análise convencional. Os modelos matemáticos para representação das curvas momento-rotação devem fornecer uma curva suave com a primeira derivada positiva. Para um modelo de conexão linear é necessário apenas um parâmetro para definir a rigidez a rotação. Neste caso, a relação momento-rotação pode ser escrito como:

$$M = S_{cini} \phi_c \quad (2)$$

em que S_{cini} representa a rigidez inicial, que é determinada pela fase inicial de carregamento. Este modelo é simples, a sua utilização é mais adequada em situações que envolvem pequenos deslocamentos, tais como as análises lineares e análises de vibrações (Chan e Chui, 2000).

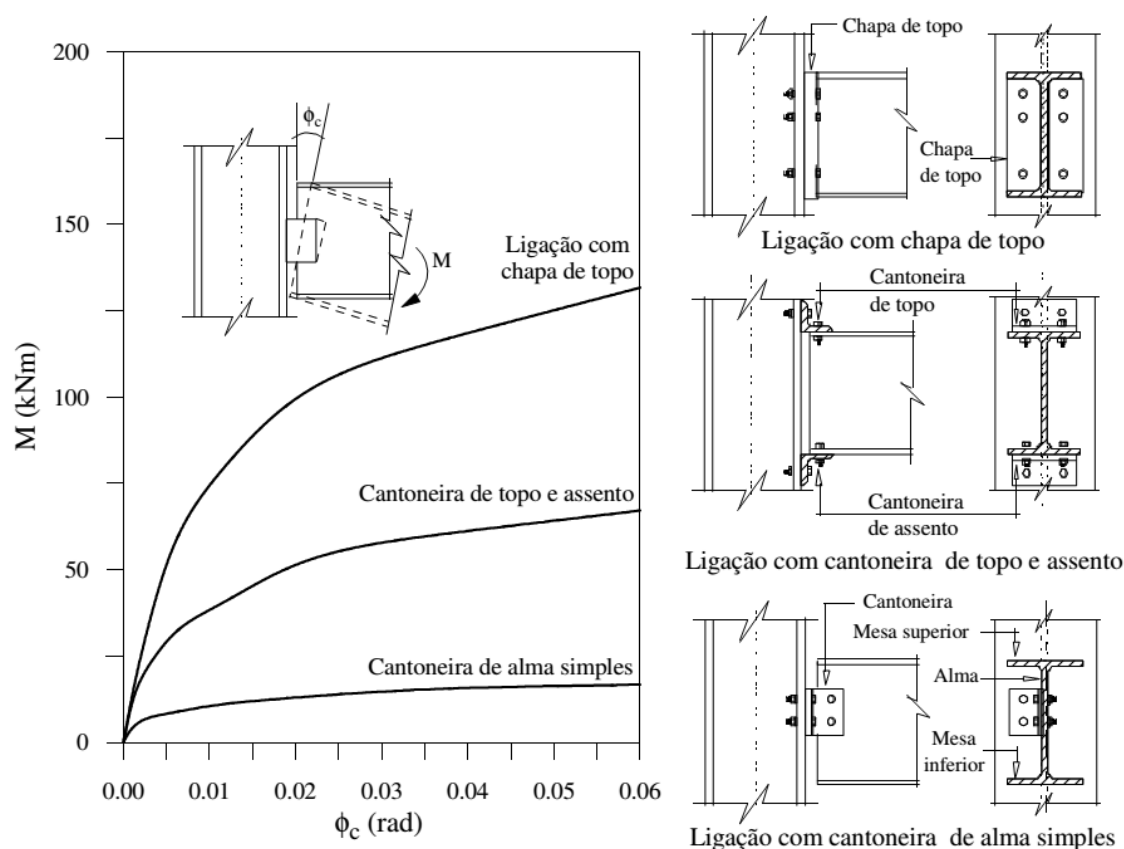


Figura 2. Curvas momento-rotação de ligações semirrígidas (Silva, 2009)

Um dos modelos não lineares é o multilinear, que é constituído, como o próprio nome sugere, por um conjunto de segmentos de reta. Nesse contexto, podem ser citados o modelo bilinear (Sivakumaran, 1988; Youssef-Agha, 1989) e o trilinear (Stelmack et al.1986; Gerstle, 1988). A deficiência desses modelos é a descontinuidade nos pontos de mudança de declividade.

Este trabalho utiliza o modelo multilinear (Fig. 3), que pode ser utilizado para representar uma curva momento-rotação obtida experimentalmente ou, ainda, para contornar as dificuldades de não se ter um modelo específico para um certo tipo de ligação. Considera-se aqui, a possibilidade do usuário fornecer alguns pontos da curva momento-rotação da ligação. São definidos, então, m pares ordenados (ϕ_c, M) , e através de um processo de interpolação

linear, obtém-se a rigidez da ligação, para cada seguimento da curva (ϕ_c, M) . Nesse caso, a rigidez da ligação é calculada como:

$$S_c = \frac{\Delta M}{\Delta \phi_c} = \frac{M_{(i+1)} - M_i}{\phi_{c(i+1)} - \phi_{ci}} \quad (3)$$

com M_i e $M_{(i+1)}$ sendo os limites inferior e superior do intervalo no qual o momento M , que atua na ligação, se encontra. Esse intervalo é estabelecido em função do nível de carregamento aplicado.

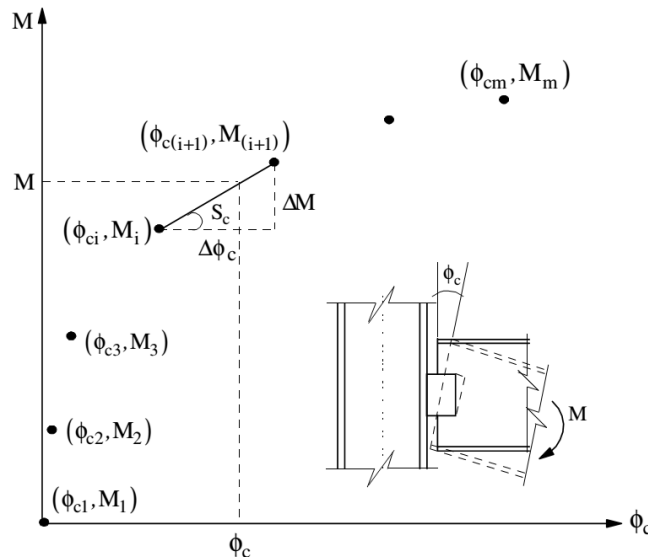


Figura 3. Modelo Multilinear (Silva, 2009)

3 COMPORTAMENTO CÍCLICO DA LIGAÇÃO SEMIRRÍGIDA

Na Figura 4 é ilustrado o aspecto típico do comportamento histerético da ligação. Algumas fases ao longo da trajetória podem ser esclarecidas de acordo com essa figura. O trecho OA descreve o comportamento da ligação durante o processo inicial de carregamento da estrutura. Quando ocorre uma inversão no sentido da sollicitação, tem-se caracterizado o processo de descarregamento. Sendo assim, a intensidade do momento fletor que atua na ligação diminui. As setas estabelecem o sentido dos caminhos, indicando a variação do momento ao longo da análise. Os caminhos AB e CD na figura exibem tal situação. Após o descarregamento completo, no qual se tem $M = 0$, ocorre novamente o processo de carregamento, comumente referido como carregamento reverso. Os trechos BC e DE exemplificam o processo de carregamento reverso e recarregamento, respectivamente. Observa-se que, após a primeira etapa de descarregamento completo, apenas uma parcela da deformação total, ϕ_{ca} , é recuperada e a ligação permanece com uma deformação residual permanente, ϕ_{cb} . Isso acontece também após os outros ciclos de carga e descarga.

Para se obter as equações que representam a relação momento-rotação nos casos de carregamento, considere o trecho DE na Figura 5a. O momento fletor M em qualquer posição dessa trajetória que se inicia em D , pode ser calculado de uma forma geral, como:

$$M = f(\phi_c - \phi_p) \quad (4)$$

na qual a função f é definida de acordo com um modelo matemático que descreve o comportamento não linear momento-rotação da ligação quando submetida a carregamento estático, e ϕ_c é a rotação correspondente a M . Já a rigidez da ligação, definida matematicamente como a inclinação da reta tangente à curva momento-rotação, é dada por:

$$S_c = \left. \frac{dM}{d\phi_c} \right|_{\phi_c = (\phi_c - \phi_p)} \quad (5)$$

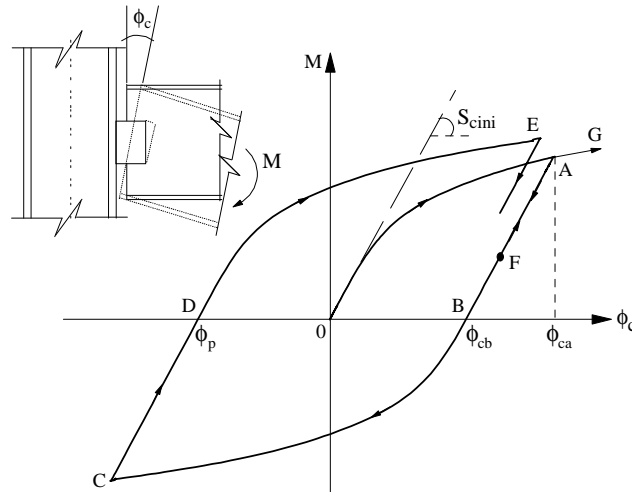


Figura 4. Comportamento histerético da ligação semirrígida (Silva, 2009)

Pode-se notar que a fase de carregamento é caracterizada pelo acréscimo de momento fletor, ΔM , entre os instantes de tempo t (anterior) e $t + \Delta t$ (atual). Além disso, o sinal de ΔM é sempre igual ao do momento fletor atuante, M . Portanto, a condição de carregamento é verificada se a relação $M \Delta M > 0$ for satisfeita.

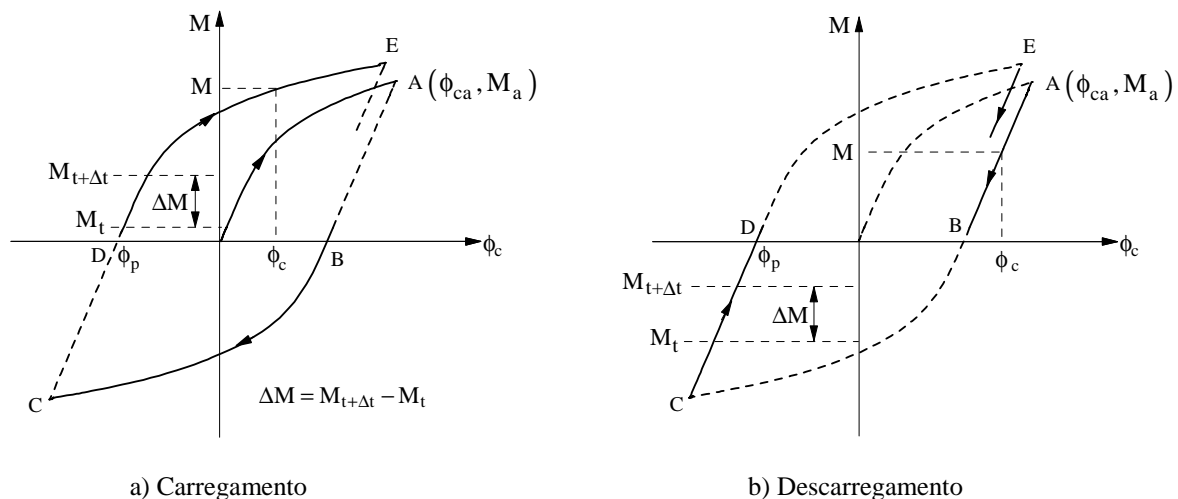


Figura 5. Modelo histerético elástico perfeitamente plástico constitutivo do material (Silva, 2009)

No processo de descarregamento, a curva momento-rotação é linear, com inclinação igual à rigidez inicial da ligação. A Figura 5b exibe as regiões onde ocorre o descarregamento. A linha contínua é usada para tal finalidade. Na obtenção das equações momento-rotação nessa

fase, considere o trecho AB do ciclo histerético representado nessa figura. Como a reta passa pelo ponto $A(\phi_{ca}, M_a)$ e tem inclinação conhecida, S_{cini} , sua equação é definida como:

$$M = M_a - S_{cini} (\phi_{ca} - \phi_c) \quad (6)$$

na qual M_a estabelece o momento a partir do qual o descarregamento ocorre. Essa grandeza, referida como momento reverso, é encontrada usando a Equação (6), para $\phi_c = \phi_{ca}$.

Observa-se que durante o processo de descarregamento, $M \Delta M < 0$. Considere novamente a Figura 4. Se a ligação estiver sendo descarregada de A a F e voltar a ser carregada antes de completar o processo de descarregamento, o comportamento momento-rotação desse elemento deverá seguir a trajetória FA até alcançar o último momento reverso encontrado. A partir de então, o processo de carregamento segue a curva original momento-rotação obtida considerando a última rotação permanente, ϕ_p , encontrada.

4 ELEMENTO FINITO COM LIGAÇÕES SEMIRRÍGIDAS

O método de aproximação mais comum para a modelagem de uma conexão em programas de análise estrutural utiliza molas posicionadas nas extremidades do elemento finito. A Figura 6 mostra o elemento de viga-coluna plana, com pontos nodais i e j , que foi utilizado neste trabalho para modelar os sistemas estruturais. As duas molas estão fisicamente fixadas nas extremidades do elemento viga-pilar, respeitando-se as condições de equilíbrio e de compatibilidade. Eles permitem grau de liberdade das ligações para ser incorporada a relação entre a rigidez tangente do elemento de viga-pilar. Apenas deformação de rotação da conexão devido a flexão é considerado.

A presença das molas fictícias introduz rotações relativas nos nós nas extremidades do elemento. Estas rotações modificam as equações que descrevem o comportamento não linear do sistema estrutural.

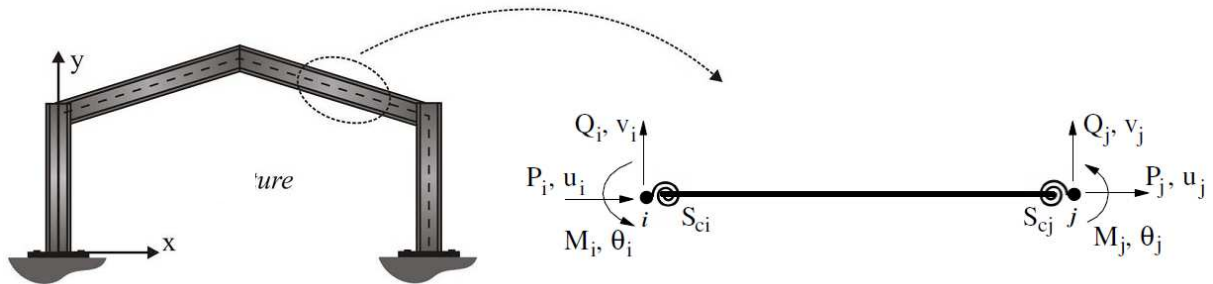


Figura 6. Elemento de pórtico plano com ligações semirrígidas

Na Figura 7 tem-se a configuração deformada do elemento finito e ainda a representação das forças internas e deformações nas molas da ligação. S_{ci} e S_{cj} denotam a rigidezes dos elementos de mola. As ligações podem ter comportamentos distintos, isto é, elas podem ser caracterizadas por diferentes curvas momento-rotação (Eq. 5). A rotação relativa da ligação, ϕ_c , é definida como sendo a diferença entre os ângulos de rotação do lado conectado ao nó global do elemento, θ_c , e daquele conectado ao elemento de portico plano, θ_b . Com essa consideração e usando a Eq. (5), é possível estabelecer a relação de equilíbrio de momentos para os elementos de ligação das extremidade, isto é:

$$\begin{Bmatrix} \Delta M_{ci} \\ \Delta M_{bi} \end{Bmatrix} = \begin{bmatrix} S_{ci} & -S_{ci} \\ -S_{ci} & S_{ci} \end{bmatrix} \begin{Bmatrix} \Delta \theta_{ci} \\ \Delta \theta_{bi} \end{Bmatrix} \quad (7)$$

$$\begin{Bmatrix} \Delta M_{cj} \\ \Delta M_{bj} \end{Bmatrix} = \begin{bmatrix} S_{cj} & -S_{cj} \\ -S_{cj} & S_{cj} \end{bmatrix} \begin{Bmatrix} \Delta \theta_{cj} \\ \Delta \theta_{bj} \end{Bmatrix} \quad (8)$$

em que ΔM_b , ΔM_c , $\Delta \theta_b$, $\Delta \theta_c$ são os incrementos de momentos e rotações nodais associados, respectivamente, ao elemento de portico plano (subscrito b), à ligação (subscrito c), o parâmetro que avalia a rigidez da ligação, S_c , pode ser obtido através de um dos modelos matemáticos que representam o seu comportamento momento-rotação (Seção 3).

Quando as conexões de mola são adicionados às extremidades do elemento, o efeito introduzido pela flexibilidade da ligação deve ser contabilizado, modificando a matriz de rigidez do elemento. A matriz modificada depende da formulação de elementos finitos adoptada.

Partindo do princípio que as cargas são aplicadas somente nos nós globais do elemento (ver Fig. 6), os momentos internos M_{bi} e M_{bj} são iguais a zero, e a seguinte relação de de equilíbrio momento-rotação pode ser conseguida (Silva, 2009):

$$\begin{Bmatrix} \Delta M_{ci} \\ \Delta M_{cj} \end{Bmatrix} = \left(\begin{bmatrix} S_{ci} & 0 \\ 0 & S_{cj} \end{bmatrix} - \frac{1}{\beta} \begin{bmatrix} S_{ci} & 0 \\ 0 & S_{cj} \end{bmatrix} \begin{bmatrix} S_{cj} + k_{(6,6)} & -k_{(3,6)} \\ -k_{(6,3)} & S_{ci} + k_{(3,3)} \end{bmatrix} \begin{bmatrix} S_{ci} & 0 \\ 0 & S_{cj} \end{bmatrix} \right) \begin{Bmatrix} \Delta \theta_{ci} \\ \Delta \theta_{cj} \end{Bmatrix} \quad (9)$$

$$\text{com, } \beta = (S_{ci} + k_{(3,3)})(S_{cj} + k_{(6,6)}) - k_{(6,3)}k_{(3,6)} .$$

As Figuras 6 e 7 mostram que $M_i = M_{ci}$ e $M_j = M_{cj}$. Como tal, a relação entre as forças de cisalhamento e os momentos flectores, obtida pelo equilíbrio de forças e momentos ($\Sigma F_y = 0$ e, por exemplo, $\Sigma M_i = 0$), podem ser escritos em uma matriz incremental, como se segue:

$$\begin{Bmatrix} \Delta Q_i \\ \Delta M_i \\ \Delta Q_j \\ \Delta M_j \end{Bmatrix} = \begin{bmatrix} 1/L & 1/L \\ 1 & 0 \\ -1/L & -1/L \\ 0 & 1 \end{bmatrix} \begin{Bmatrix} \Delta M_{ci} \\ \Delta M_{cj} \end{Bmatrix} \quad (10)$$

com ΔM_i and ΔM_j são os momentos nodais incrementais; ΔQ_i e ΔQ_j são as forças de cisalhamento incrementais; e L é o comprimento do elemento na configuração do equilíbrio t .

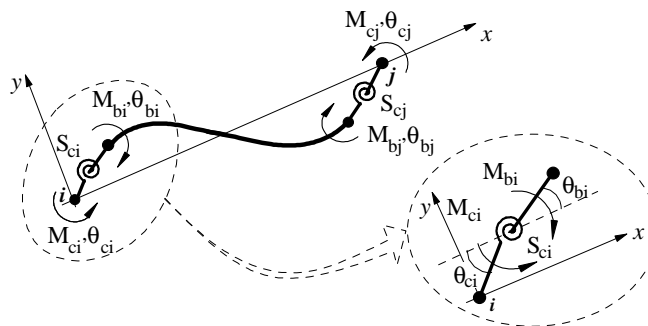


Figura 7. Configuração deformada do elemento pórtico plano com ligações semirrígidas

Observando a Fig. 8, é possível estabelecer a relação:

$$\begin{Bmatrix} \Delta\theta_{ci} \\ \Delta\theta_{cj} \end{Bmatrix} = \begin{bmatrix} 1/L & 1 & -1/L & 0 \\ 1/L & 0 & -1/L & 1 \end{bmatrix} \begin{Bmatrix} \Delta v_i \\ \Delta\theta_i \\ \Delta v_j \\ \Delta\theta_j \end{Bmatrix} \quad (11)$$

onde Δv_i e Δv_j são, respectivamente, os deslocamentos verticais incrementais dos nós i e j .

A matriz de rigidez do elemento semirrígido pode então ser então obtida, em que suas componentes consideram simultaneamente o efeito a flexibilidade da ligação e os efeitos não lineares geométricos. Isso é feito através da substituição (9) em (10), utilizando (11), e executando as operações algébricas matriciais necessárias. Os detalhes desse procedimento estão em Silva (2009). Portanto, a matriz de rigidez desse elemento semirrígido é definida no sistema local de coordenadas da seguinte forma:

$$\begin{Bmatrix} \Delta P_i \\ \Delta Q_i \\ \Delta M_i \\ \Delta P_j \\ \Delta Q_j \\ \Delta M_j \end{Bmatrix} \begin{bmatrix} k_{(1,1)} & k_{(1,2)} & k_{(1,3)} & k_{(1,4)} & k_{(1,5)} & k_{(1,6)} \\ k_{(2,1)} & k^*_{(2,2)} & k^*_{(2,3)} & k_{(2,4)} & k^*_{(2,5)} & k^*_{(2,6)} \\ k_{(3,1)} & k^*_{(3,2)} & k^*_{(3,3)} & k_{(3,4)} & k^*_{(3,5)} & k^*_{(3,6)} \\ k_{(4,1)} & k_{(4,2)} & k_{(4,3)} & k_{(4,4)} & k_{(4,5)} & k_{(4,6)} \\ k_{(5,1)} & k^*_{(5,2)} & k^*_{(5,3)} & k_{(5,4)} & k^*_{(5,5)} & k^*_{(5,6)} \\ k_{(6,1)} & k^*_{(6,2)} & k^*_{(6,3)} & k_{(6,4)} & k^*_{(6,5)} & k^*_{(6,6)} \end{bmatrix} \begin{Bmatrix} \Delta u_i \\ \Delta v_i \\ \Delta\theta_i \\ \Delta u_j \\ \Delta v_j \\ \Delta\theta_j \end{Bmatrix} \quad (11)$$

na qual os termos $k^*_{(m,n)}$ são funções das rigidezes das ligações, S_{ci} e S_{cj} , e dos respectivos termos $k_{(m,n)}$, que foram obtidos através de uma formulação de segunda ordem convencional considerando as ligações como perfeitamente rígidas. A transformação do vetor de força interna e a matriz de rigidez para o sistema global de coordenadas é realizada seguindo o procedimento usual..

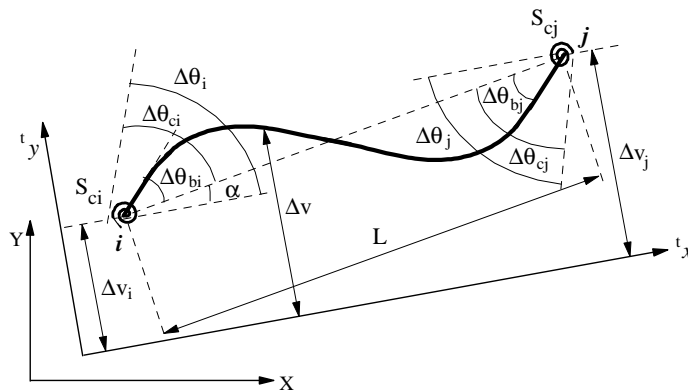


Figura 8. Deslocamentos nodais do elemento de pórtico plano com ligações semirrígidas (Silva, 2009)

5 SOLUÇÃO DO PROBLEMA TRANSIENTE NÃO LINEAR

Através do Princípio dos Trabalhos Virtuais (PTV) pode-se obter a equação de equilíbrio que governa a resposta dinâmica de um sistema estrutural. Considera-se que, além das tensões restauradoras provocadas pela deformação da estrutura e das forças externas, o sistema estrutural também esteja submetido às forças inerciais e dissipativas (amortecimento).

Para determinar a configuração de equilíbrio da estrutura em $t + \Delta t$, é utilizado Referencial Lagrangeano Atualizado. Neste caso, a configuração no instante t é usada como referência para a análise. Adotando-se os procedimentos usuais do método dos elementos finitos, tem-se o campo de deformações e os deslocamentos dos elementos em função dos deslocamentos nodais, sendo possível obter, de uma forma discretizada a seguinte equação matricial:

$$\mathbf{M}\ddot{\mathbf{U}} + \mathbf{C}\dot{\mathbf{U}} + \mathbf{K}\mathbf{U} = \mathbf{F}_{ext}, \text{ ou ainda, } \mathbf{M}\ddot{\mathbf{U}} + \mathbf{C}\dot{\mathbf{U}} + \mathbf{F}_i = \lambda(t)\mathbf{F}_r \quad (13)$$

na qual $\ddot{\mathbf{U}}$, $\dot{\mathbf{U}}$ e \mathbf{U} são, respectivamente, os vetores de acelerações, velocidades e deslocamentos nodais, \mathbf{F}_i representa o vetor de cargas externas, \mathbf{F}_r é o vetor de forças internas, e λ é o vetor de forças externas de referência (apenas sua direção é importante) e λ é o parâmetro de carga que estabelece a intensidade desse vetor no instante considerado. Os termos \mathbf{M} , \mathbf{C} e \mathbf{K} são, respectivamente, as matrizes de massa, amortecimento e rigidez do sistema estrutural.

As ações geradas durante um abalo sísmico não são propriamente forças aplicadas diretamente na estrutura e sim forças de inércia resultantes dos movimentos da própria estrutura. Desse modo, a aceleração de base ou aceleração do solo aparece do lado direito da equação que governa a resposta estrutural dinâmica da seguinte maneira:

$$\mathbf{M}\ddot{\mathbf{U}} + \mathbf{C}\dot{\mathbf{U}} + \mathbf{F}_i = \ddot{\mathbf{U}}_g(t)\mathbf{M} \quad (14)$$

em que $\ddot{\mathbf{U}}_g(t)$ é a aceleração do solo, dada por um escalar em um determinado instante t .

De um modo geral, as estruturas se comportam de forma não linear antes de atingirem seus limites de resistência. Assim, a busca por uma melhor representação do comportamento estrutural requer que as fontes de não linearidade sejam consideradas. Como neste trabalho são considerados os efeitos não lineares geométricos e de ligações, reescreve-se a Eq. (13) como:

$$\mathbf{M}\ddot{\mathbf{U}} + \mathbf{C}\dot{\mathbf{U}} + \mathbf{F}_i(\mathbf{U}, \mathbf{P}, \mathbf{S}_c) = \lambda(t)\mathbf{F}_r \quad (15)$$

sendo \mathbf{F}_i o vetor obtido de forma incremental através de formulações que consideram os efeitos de segunda ordem (representados aqui pelas forças internas \mathbf{P}) e a semirrígidez das ligações (representada pelo parâmetro \mathbf{S}_c).

A solução do problema transiente não linear é alcançada por meio de um procedimento incremental e iterativo que combina o método de integração implícito de Newmark com a técnica iterativa de Newton-Raphson.

6 APLICAÇÃO NUMÉRICA

Na Figura 9 tem-se modelo estrutural baseado no projeto arquitetônico de edifícios residenciais populares padrões da Usiminas (Usinas Siderúrgicas de Minas Gerais S/A). A resposta dinâmica desse modelo foi analisado por da Lopes (2008) e Castro (2006) usando o *software* comercial *Ansys* e, dessa forma, maiores detalhes sobre a essa estrutura podem ser encontrados nesses trabalhos. Um estudo inicial desse pórtico foi também realizado em Silva (2009), usando o CS-ASA. As propriedades geométricas desse sistema estrutural são ilustradas na Figura 9.

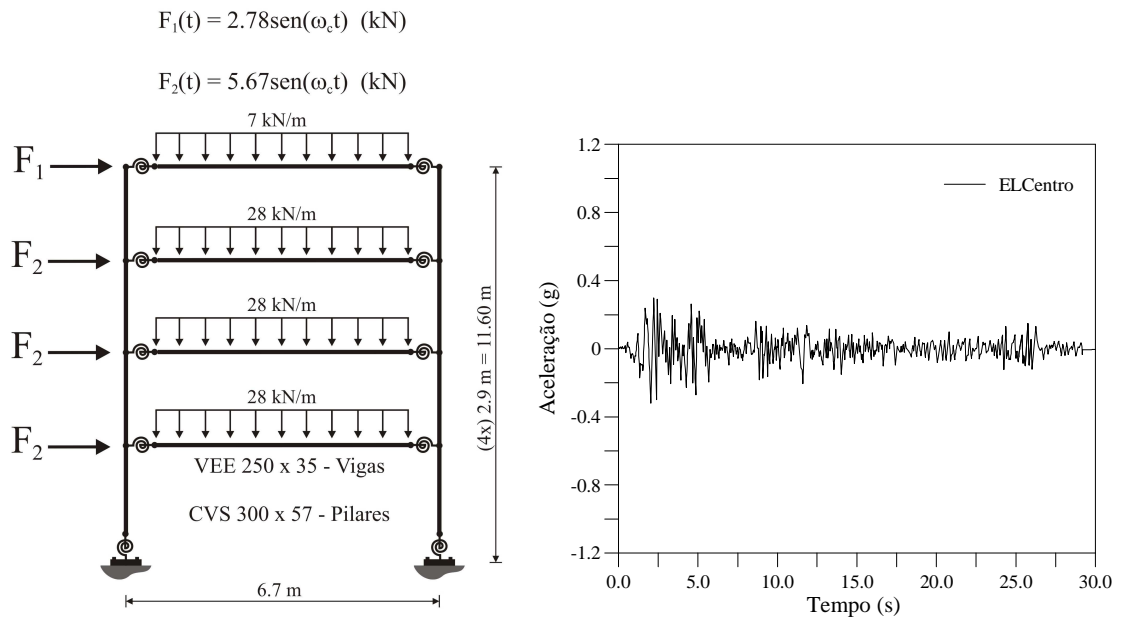


Figure 9. Pórtico de quatro andares: geometria e carregamentos

As ligações viga-pilar do pórtico tiveram seu comportamento avaliado de maneira teórica e experimental por Carvalho (1997). A curva momento-rotação da ligação obtida nos testes experimentais realizados, é representada na, Figura 10.

Para as o apoio (base-pilar) do sistema, considerou-se nas análises dois tipos de ligações: engastada e semirrígida. As curvas momento-rotação para diferentes espessuras de placa de base apresentadas nas Figuras 10b, 10c e 10d, foram baseadas na análise paramétrica desenvolvida por Kontoleon *et al.* (1999). As ligações base-pilar e na viga-pilar foram consideradas simétricas. Ainda para as ligações base-pilar, utilizaram-se curvas momento-rotação com e sem a atuação de esforços axiais.

Realizou-se então uma a análise de vibração livre do pórtico de quatro andares, onde foi adotado uma rigidez inicial ($S_{cini} = 10000,00$ kNm/rad) na representação da ligação base-pilar. A variação da espessura da placa de base, não apresentou influência significativa no valor dessa rigidez inicial. Para representação das ligações viga-pilar a rigidez inicial adotada foi ($S_{cini} = 11000,00$ kNm/rad).

Na Tabela 1 têm-se as frequências naturais de vibração da estrutura, para quatro configurações diferentes: todas as ligações rígidas, apenas as ligações base-pilar semirrígidas, apenas as ligações viga-pilar semirrígidas e todas as ligações semirrígidas. Verifica-se a boa correspondência dos resultados encontrados no presente estudo e os resultados apresentado por Lopes (2008). Observa-se ainda modificações nas frequências naturais da estrutura com a introdução das ligações semirrígidas viga-pilar e base-pilar.

Tabela 1. Frequências naturais de vibração do pórtico de quatro andares

Configurações	Lopes (2008) – Ansys		Presente Trabalho	
	1ª Frequência	2ª Frequência	1ª Frequência	2ª Frequência
Todas as ligações rígidas	4,61	16,83	4,22	15,30
Apenas as ligações base-pilar semirrígidas	4,39	16,30	4,02	14,51
Apenas as ligações viga-pilar semirrígidas	3,86	14,45	3,80	13,98
Todas as ligações semirrígidas	3,67	13,97	3,61	13,24

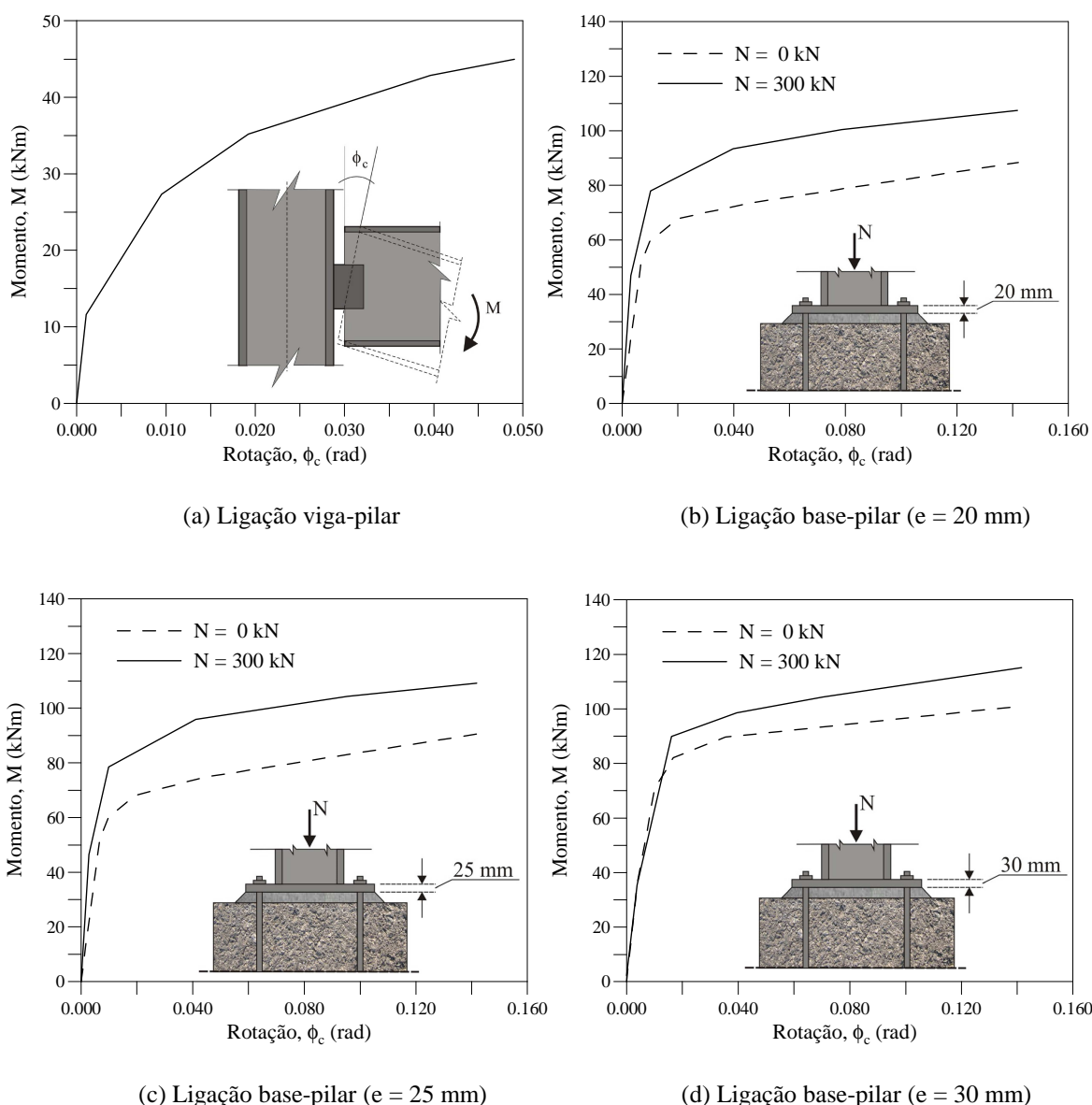


Figura 10. Curvas momento-rotação

Calibrado o modelo numérico, realizou-se na sequencia uma análise transiente da estrutura considerando o carregamento harmônico apresentado na Figura 9, onde a frequência

da força de excitação, ω_c , é igual à menor frequência natural, ou seja, 3,80 Hz, para estrutura somente com as ligações viga-pilar semirrígida.

A resposta não linear dinâmica do pórtico é ilustrada na Figura 11, o amortecimento considerado é do tipo proporcional de Rayleigh com uma taxa de amortecimento de 1,5%. Vale destacar que as ligações semirrígidas viga-pilar do pórtico tiveram seu comportamento avaliado de duas formas linear, ou seja, rigidez inicial constante; não linear, por meio do modelo multilinear utilizado para representar a curva momento-rotação (Figura 10a).

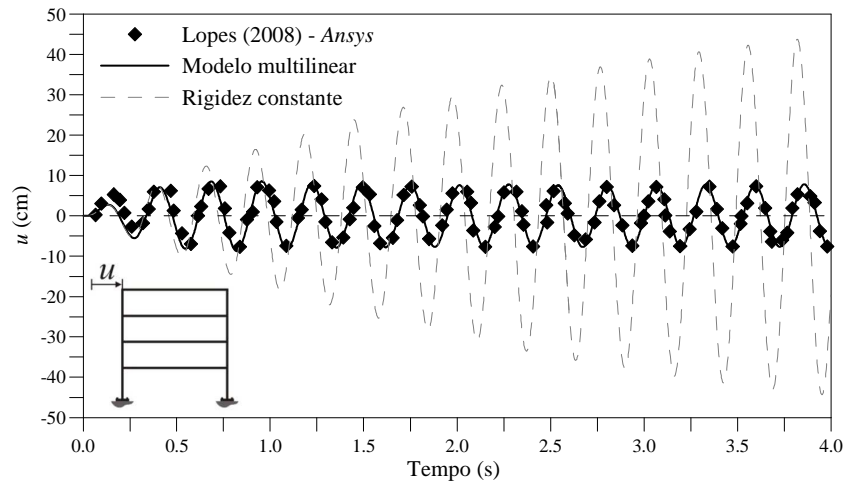


Figura 11. Deslocamento horizontal (u) no topo da estrutura para ligações semirrígidas viga-pilar

Pode-se observar através da Figura 11, que quando o modelo estrutural é analisado considerando as ligações viga-pilar semirrígidas através do modelo linear ocorre o fenômeno de ressonância. Esse efeito, ocorre por causa da proximidade entre os valores da frequência de excitação e a frequência natural da estrutura. Entretanto o efeito de ressonância não é verificado quando se utiliza o modelo não linear na representação das ligações. Isto acontece porque o amortecimento histerético promovido pelas ligações semirrígidas com comportamento não linear tem a capacidade de dissipar energia a cada ciclo (Figura 12).

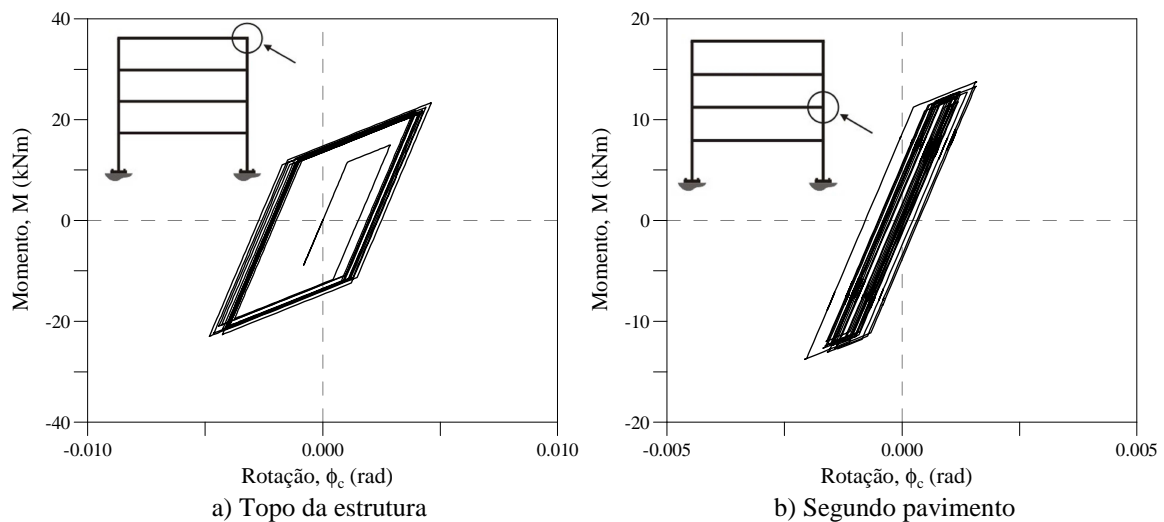


Figura 12. Deslocamento horizontal (u) no topo da estrutura para ligações semirrígidas viga-pilar

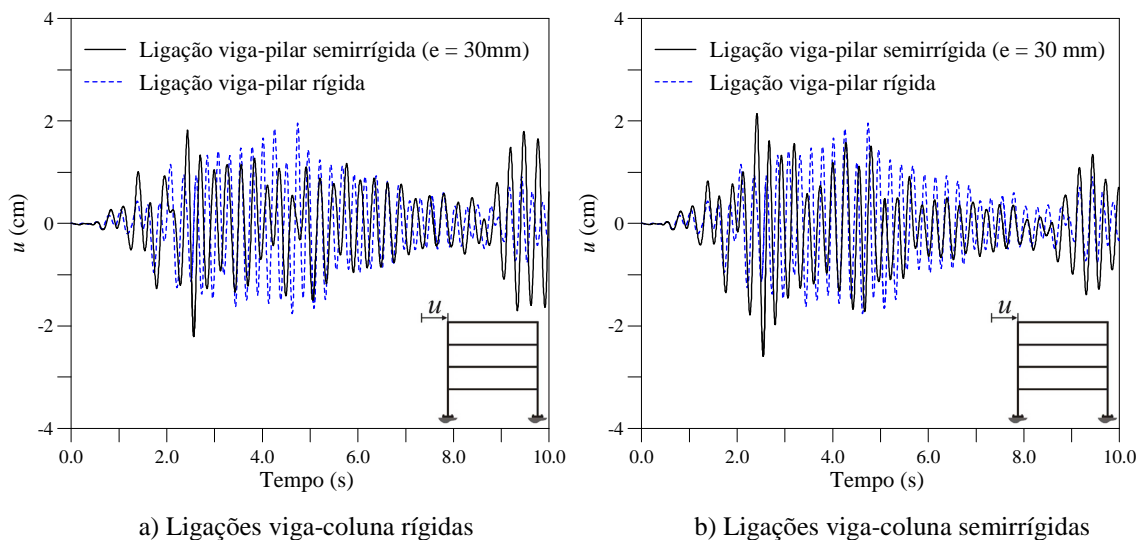


Figura 13. Deslocamento horizontal (u) no topo da estrutura para ligações semirrígidas viga-pilar

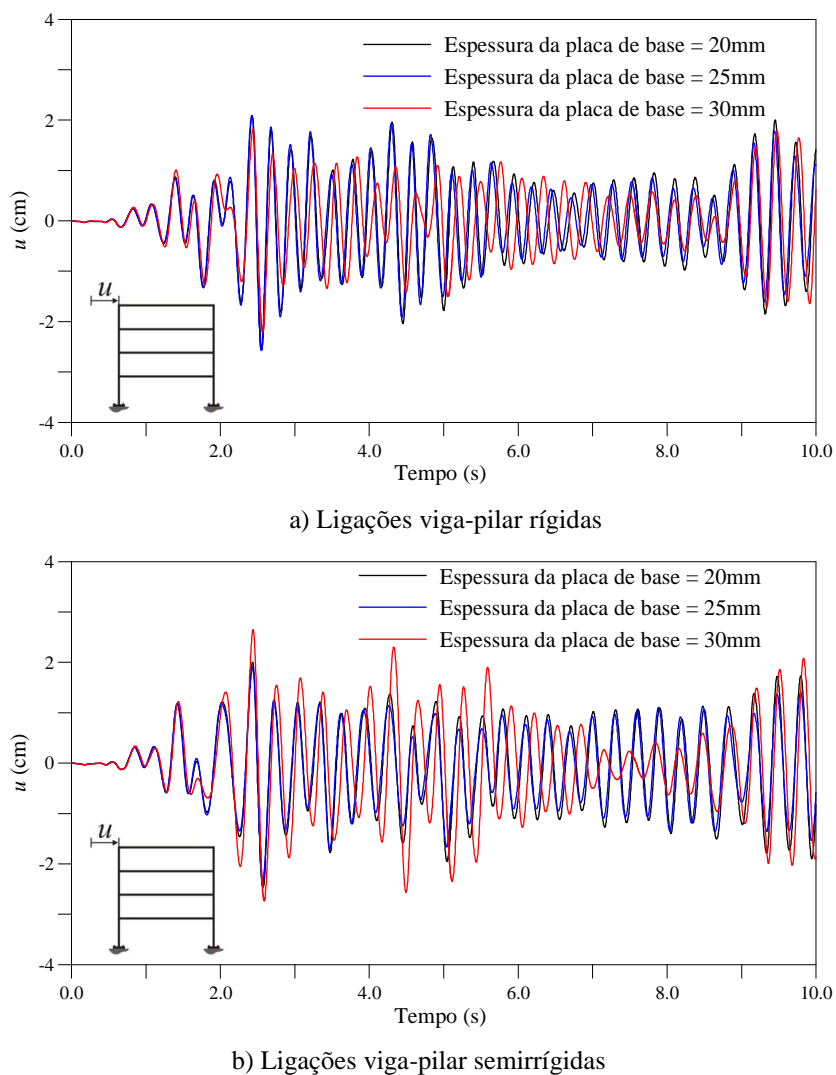


Figura 14. Deslocamento horizontal (u) no topo da estrutura para ligações semirrígidas viga-pilar

Em uma segunda abordagem o pórtico de quatro andares é submetido agora a uma ação sísmica. Nesse caso considerou-se primeiros 10 segundos do acelerograma real El Centro-1940 (Fig. 9). Sob essa nova condição de carregamento, a resposta dinâmica do pórtico considerando diferentes configurações de ligações é apresentada na Figura 13, nesta análise também é considerado o amortecimento do tipo proporcional de Rayleigh com uma taxa de amortecimento de 1,5%. Observa-se que ocorre a predominância da redução das amplitudes do deslocamento durante a maior parte da análise, sendo esse comportamento melhor evidenciado quando a estrutura é modelada considerando as ligações base-pilar semirrígidas.

Com o intuito de evidenciar a influencia das ligações semirrígidas base-pilar, realizou-se uma análise considerando agora as curvas momento-rotação para diferentes espessuras de placa de base. Na Figura 14a tem-se a resposta transiente do pórtico considerando somente as ligações base-pilar semirrígidas, de onde se observa pouca influência ocasionada pela variação da espessura da placa de base. Já na Figura 14b estão os resultados obtidos quando se consideram. Para a curva placa de base mais espessa (30mm) ocorreu uma variação significativa na resposta transiente da estrutura, sendo o comportamento predominante oriundo da flexibilidade das ligações semirrígidas viga-pilar.

7 CONSIDERAÇÕES FINAIS

De um modo geral, os resultados obtidos com o CS-ASA apresentaram boa concordância com os da literatura. Através das análises numéricas realizadas na seção anterior, verificou-se, mais uma vez, a eficiência da metodologia numérica de tratamento das ligações semirrígidas, que juntamente com os métodos de Newmark e Newton-Raphson, se mostrou bastante eficiente na aproximação do comportamento transiente não linear de pórticos de aço sob ações dinâmicas.

Destaca-se aqui o amortecimento histerético promovido pelas ligações semirrígidas com comportamento não linear e sua grande capacidade de dissipar energia a cada ciclo. Ainda foi verificada a ocorrência de predominância da redução das amplitudes de deslocamentos durante a maior parte da análise, quando a estrutura foi modelada considerando as ligações base-pilar semirrígidas.

Nas análises que foram consideradas curvas momento-rotação para diferentes espessuras de placa de base, pode-se verificar pouca influência dessas diferentes espessuras nos resultados. No entanto, quando foram consideradas as ligações viga-pilar e base-pilar semirrígidas, verificou-se que na análise com a curva momento-rotação referente à placa de base mais espessa (30mm), ocorreu uma variação significativa na resposta transiente da estrutura, sendo o comportamento predominante oriundo da flexibilidade das ligações semirrígidas viga-pilar.

AGRADECIMENTOS

Os autores agradecem à CAPES, ao CNPq, à Fapemig, à Fundação Gorceix, ao PROPEC/UFOP e à Propp/UFOP o apoio fornecido para o desenvolvimento desta pesquisa.

REFERENCIAS

- ABNT - NBR 8800, 2008. Brazilian Association of Technical Standards. Project and Execution of Steel Buildings Structures, Rio de Janeiro, Brazil. (in Portuguese)
- AISC, 2010. Specification for Structural Steel Buildings, American Institute of Steel Construction, ANSI/AISC 360-05, Chicago, IL.
- Aristizabal-Ochoa, J. D., 2015. Stability of imperfect columns with nonlinear connections under eccentric axial loads including shear effects. *International Journal of Mechanical Sciences* 90.
- Attarnejad, R., & Pirmoz, A., 2014. Nonlinear analysis of damped semi-rigid frames considering moment-shear interaction of connections. *International Journal of Mechanical Sciences* 81.
- Batelo, E.A.P., 2014. *Advanced Dynamic Analysis of Steel Structures Under Extreme Loading*. Máster Dissertation, Deciv/EM/UFOP, Ouro Preto, MG, Brazil (in Portuguese).
- Bernuzzi, C., Zandonini, R., & Zanon, P., 1996. Experimental analysis and modelling of semi-rigid steel joints under cyclic reversal loading. *Journal of Constructional Steel Research* 38(2).
- Calado, L., 2003. Non-linear cyclic model of top and seat with web angle for steel beam-to-column connections. *Engineering Structures* 25.
- Castro, R.A., 2006. *Modelagem Computacional de Ligações Semi-rígidas e sua Influência no Comportamento Dinâmico de Pórticos de Aço*. Dissertação de Mestrado, Programa de Pós-Graduação em Engenharia Civil/FEN/UERJ, Rio de Janeiro, RJ, Brasil.
- Carvalho, L. C. V. de., 1997. *Avaliação de Ligações Semi-Rígidas Aparafusadas em Estruturas de Aço*. Dissertação de Mestrado. 208 páginas Departamento de Engenharia Civil – Pontifícia Universidade Católica do Rio de Janeiro.
- Chan, S.L., e Chui, P.P.T., 2000. Non-linear Static and Cyclic Analysis of Steel Frames with Semi-Rigid Connections. Elsevier, Oxford.
- Chan, S.L., e Ho, G.W.M., 1994. Nonlinear vibration analysis of steel frames with semirigid connections. *Journal of Structural Engineering* 120(4).
- A.K. Chopra, 1995. *Dynamics of Structures*, Prentice-Hall, Inc., New Jersey.
- Cunningham, R., 1990. Some aspects of semi-rigid connections in structural steelwork. *The Structural Engineer* 68(5).
- Eurocode 3, 2005. Design of Steel Structures. Part 1.8: Design of Joints. European Committee for Standardization (CEN) Brussels, Belgium.
- Galvão, A.S., Silva, A.R.D., Silveira, R.A.M., & Gonçalves, P.B., 2010. Nonlinear dynamic and instability of slender frames with semi-rigid connection. *International Journal of Mechanical Sciences* 52.
- Gerstle, K.H., 1988. Effect of connections on frames. *Journal of Constructional Steel Research*, vol. 10, pp. 241-267.
- Kontoleon, M. J., Mistakidis, E. S., Baniotopoulos, C. C., Panagiotopoulos, P. D., 1999. Parametric analysis of the structural response of steel base plate connections, *Computers and Structures*, vol. 71, p. 87-103.

Lopes F. R. C., 2008. *Influência do Comportamento Semi-Rígido de Placas de Base e de Ligações Viga-Coluna na Resposta Dinâmica de Pórticos de Aço*. Dissertação de Mestrado, Programa de Pós-Graduação em Engenharia Civil/FEN/UERJ, Rio de Janeiro, RJ, Brasil.

Lui, E.M., e Lopes, A., 1997. Dynamic analysis and response of semirigid frames. *Engineering Structures*, 19(8).

Nguyen, P-C., 2010. Nonlinear Analysis of Planar Semi-Rigid Steel Frames subjected to Earthquakes using PlasticZone Method. Master Dissertation, Hồ Chí Minh, Vietnam, (in Vietnamese).

Nguyen, P-C., & Kim, S-E., 2011. Nonlinear elastic dynamic of space steel frames with semi-rigid connections. *International Journal Constructional Steel Research* 84.

Sivakumaran, K.S., 1988. Seismic response of multi-storey steel buildings with flexible connections. *Engineering Structures*, vol. 10, pp. 239-248.

Silva, A.R.D., 2009. *Computational System for Static and Dynamic Advanced Analysis of Steel Frames*, Ph.D. thesis, PROPEC/Deciv/UFOP, Ouro Preto/MG, Brazil, (in Portuguese).

Shi, G., Shi Y., & Wang Y., 2007. Behavior of end-plate moment connection under earthquake loading. *Engineering Structures*, 29.

Sophianopoulos, D.S., 2003. The effect of joint flexibility on the free elastic vibration characteristics of steel plane frames. *Journal of Constructional Steel Research* 59 .

Stelmack, T.W., Marley, M.J., e Gerstle, K.H., 1986. Analysis and tests of flexibly connected steel frames. *Journal of Structural Engineering*, vol. 112(7), pp. 1573-1588.

Valipour, H.R., e Bradford, M., 2012. An efficient compound-element for potential progressive collapse analysis of steel frames with semi-rigid connections. *Finite Elements in Analysis and Design*, 60.

Vimonsatit, V., Tangaramvong, & S. F., Tin-Loi, 2012. Second order elastoplastic analysis of semirigid steel frames under cyclic loading. *Engineering Structures* 65.

Xu, Y.L., e Zhang, W.S., 2001. Modal analysis and seismic response of steel frames with connection dampers. *Engineering Structures* 23.

Youssef-Agha, W., e Aktan, H.M., 1989. Seismic response of low-rise steel frames, *Journal of the Structural Division*, vol. 115(3), pp. 594-607.